

HPLC法同时测定山慈菇中3种成分

谢典¹, 朱聪¹, 潘红波¹, 李晓静², 徐步斌^{1*}, 周斌^{1*}

(1. 江西科技师范大学药学院, 江西南昌 330013; 2. 海军勤务学院, 天津 300450)

摘要: 目的 建立HPLC法同时测定山慈菇中dactylorhin A、militarine、秋水仙碱的含量。方法 山慈菇70%甲醇提取物的分析采用DIKMA Diamonsil C₁₈色谱柱(4.6 mm×250 mm, 5 μm);流动相乙腈-水, 梯度洗脱;柱温30℃;体积流量1 mL/min;检测波长224 nm。结果 3种成分在各自范围内线性关系良好($R^2 \geq 0.9991$), 平均加样回收率为94.18%~102.15%, RSD为1.53%~1.91%。结论 该方法准确稳定, 重复性好, 可用于山慈菇的质量控制。

关键词: 山慈菇; dactylorhin A; militarine; 秋水仙碱; HPLC

中图分类号: R284.1

文献标志码: B

文章编号: 1001-1528(2022)06-2050-04

doi:10.3969/j.issn.1001-1528.2022.06.059

山慈菇是兰科植物杜鹃兰 *Cremastra appendiculata* (D. Don) Makino、独蒜兰 *Pleione bulbocodioides* (Franch) Rolfe、云南独蒜兰 *Pleione yunnanensis* Rolfe 的假鳞茎, 秋季采摘, 摘弃茎叶洗净泥沙, 经晒干或烘干后加工而成。山慈菇分布广泛, 在长江以南、西北、西南等地区均有种植。山慈菇具有悠久的应用历史, 最初记载于唐代《本草拾遗》, 药性甘、微辛、凉, 归肝、脾经, 有清热解毒、化瘀祛瘀的功效, 可用于痈肿疔毒、瘰疬痰核等由皮肤炎症或感染引发的外科疾病, 蛇虫咬伤等^[1]。

从山慈菇中分离得到菲类、联苄类、糖及糖苷类、萜类、甾体类^[2-10]等成分。山慈菇具有抗肿瘤^[11-17]、降压^[18-19]、抗菌^[20-23]、抗痛风^[24-25]等药理活性。在我国, 山慈菇常与其他中药配伍治疗肺癌、肝癌、大肠癌、乳腺癌等恶性肿瘤以及抗痛风治疗。dactylorhin A、militarine、秋水仙碱是山慈菇中主要的活性成分, 其中, dactylorhin A、militarine 属于丁二酸苄酯苷类成分, 能够提高由于用药导致缺损的老鼠记忆, 降低脑部神经损伤, 具有延缓衰老和抗老年痴呆的作用^[26-28], 秋水仙碱则具有良好的抗痛风、抗肿瘤作用。

近年来, 山慈菇的研究聚焦于抗肿瘤作用机制, 同时dactylorhin A、militarine 和秋水仙碱的含量测定也分别有报道^[29-32]。本研究首次建立HPLC法同时测定山慈菇中dactylorhin A、militarine、秋水仙碱的含量, 以期为山慈菇药材的质量控制与评价提供依据。

1 材料

1.1 仪器 KQ-3200DB型超声波清洗器(江西赣仪科技有限公司); LR4000型旋转蒸发仪(德国Heidolph公司); 2550型紫外-可见分光光度计(日本岛津公司); 1100型高

效液相色谱仪(美国安捷伦公司); CP225D型电子天平(十万分之一, 瑞士Mettler-Toledo公司); 中药粉碎机(天津市泰斯特仪器有限公司)。

1.2 试剂与药物 dactylorhin A对照品(批号256459-34-4, 纯度≥98%, 成都植标化纯生物技术有限公司); militarine(批号DST190724-025, 纯度≥98%)、秋水仙碱(批号DST190527-052, 纯度≥98%)对照品(成都德思特生物技术有限公司)。山慈菇购自云南省丽江市, 由江西中医药大学药学院邓可众副教授鉴定为正品。甲醇(上海晶纯生化科技股份有限公司); 乙腈(汕头市西陇科学股份有限公司); 纯净水(杭州娃哈哈集团有限公司)。

2 方法与结果

2.1 溶液制备

2.1.1 对照品溶液 称取dactylorhin A、militarine、秋水仙碱对照品适量, 置于量瓶中, 甲醇稀释至刻度, 制成质量浓度分别为0.097、1.006、0.541 mg/mL溶液, 即得。

2.1.2 供试品溶液 将药材粉碎, 过30号筛, 称取粉末0.5 g, 置于50 mL具塞锥形瓶中, 加入70%甲醇50 mL, 静置1 h, 超声(100 W, 45 kHz)处理1 h, 滤过, 将滤液浓缩转移至10 mL量瓶中, 定容, 摆匀, 即得。

2.2 检测波长选择 将“2.1.1”项下对照品溶液于200~600 nm波长范围内扫描, 发现dactylorhin A、militarine最大吸收波长均为224 nm, 秋水仙碱最大吸收波长为242 nm, 但在224 nm处也有较好吸收。因此, 选择224 nm作为检测波长。

2.3 色谱条件 DIKMA Diamonsil C₁₈色谱柱(4.6 mm×250 mm, 5 μm);流动相乙腈(A)-水(B), 梯度洗脱(0~10 min, 10% A; 10~40 min, 10%~40% A; 40~

收稿日期: 2020-07-26

基金项目: 国家自然科学基金资助项目(81560635, 81760701)

作者简介: 谢典(1995—), 女, 硕士, 从事药物分析研究。Tel: 15979196329, E-mail: 1306122143@qq.com

*通信作者: 徐步斌(1971—), 男, 博士, 讲师, 从事药物化学、中药活性成分研究。Tel: 17770180199, E-mail: bubxu@163.com

周斌(1970—), 男, 博士, 教授, 从事中药新药研究。Tel: 15870664871, E-mail: tju_zhoubin@163.com

45 min, 40%~10% A); 体积流量 1 mL/min; 柱温 30 °C; 检测波长 224 nm; 进样量 10 μL。

2.4 专属性试验 精密吸取对照品、供试品溶液各 10 μL, 在“2.3”项色谱条件下进样测定, 结果见图 1。由此可知, 各成分分离度理想, 阴性无干扰, 表明该方法专属性良好。

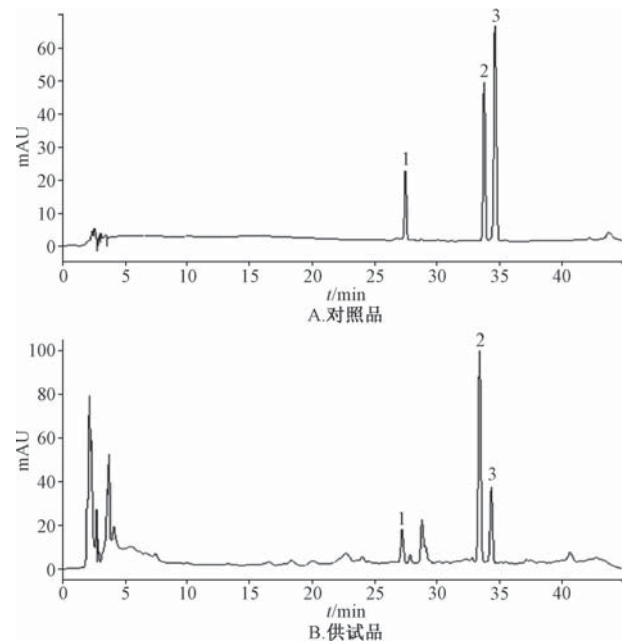


图 1 各成分 HPLC 色谱图
1. dactylochin A 2. militarine 3. 秋水仙碱

2.5 线性关系考察 精密吸取“2.1.1”项下对照品溶液适量, 甲醇定容至刻度, 制成系列质量浓度对照品溶液, 在“2.3”项色谱条件下进样测定。以峰面积为纵坐标 (Y), 对照品质量浓度为横坐标 (X) 进行回归, 并分别以 S/N=3、S/N=10 计算检测限、定量限, 结果见表 1, 可知各成分在各自范围内线性关系良好。

2.6 精密度试验 吸取“2.1.1”项下对照品溶液适量 (质量浓度分别为 dactylochin A 29.9 μg/mL、militarine 83.5 μg/mL、秋水仙碱 34.6 μg/mL), 在“2.3”项色谱条件下进样测定 6 次, 测得 dactylochin A、militarine、秋水仙碱峰面积 RSD 分别为 0.64%、0.28%、0.27%, 表明仪器精密度良好。

2.7 稳定性试验 精密称取药材粉末 0.5 g, 按“2.1.2”项下方法制备供试品溶液, 于 0、2、4、6、8、10、24 h 在“2.3”项色谱条件下进样测定, 测得 dactylochin A、militarine、秋水仙碱峰面积 RSD 分别为 0.62%、0.80%、1.04%, 表明溶液在 24 h 内稳定性良好。

2.8 重复性试验 精密称取药材粉末 0.5 g, 共 6 份, 按“2.2”项下方法制备供试品溶液, 在“2.3”项下色谱条件下进样测定, 测得 dactylochin A、militarine、秋水仙碱峰面积 RSD 分别为 0.66%、0.79%、0.37%, 表明该方法重复性良好。

2.9 加样回收率试验 精密称取药材粉末 0.25 g, 平行 6 份, 按 100% 水平精密加入对照品溶液适量, 按“2.2”项下方法制备供试品溶液, 在“2.3”项色谱条件下进样测定, 计算回收率, 结果见表 2。

表 1 各成分线性关系

成分	回归方程	R ²	线性范围/(μg·mL ⁻¹)	检测限/(ng·mL ⁻¹)	定量限/(ng·mL ⁻¹)
dactylochin A	$Y=12.672X-15.283$	0.999 8	4.85~58.2	16	48
militarine	$Y=18.514X-87.737$	0.999 3	10.06~160.96	30	90
秋水仙碱	$Y=44.044X-76.767$	0.999 1	5.41~54.1	18	54

表 2 各成分加样回收率试验结果 (n=6)

成分	取样量/g	原有量/μg	加入量/μg	测得量/μg	回收率/%	平均回收率/%	RSD/%
dactylochin A	0.250 7	98.32	97.00	194.90	99.57	99.58	1.53
	0.251 1	97.97	97.00	195.54	100.59		
	0.251 3	98.81	97.00	194.35	98.49		
	0.250 6	99.76	97.00	193.96	97.11		
	0.251 0	99.03	97.00	196.96	100.95		
	0.251 1	98.89	97.00	196.64	100.77		
militarine	0.250 7	429.55	402.40	822.91	97.75	94.18	1.91
	0.251 1	433.28	402.40	807.87	93.09		
	0.251 3	434.88	402.40	813.81	94.17		
	0.250 6	435.64	402.40	812.46	93.64		
	0.251 0	431.70	402.40	807.38	93.36		
	0.251 1	436.41	402.40	810.97	93.08		
秋水仙碱	0.250 7	68.76	70.33	139.32	100.33	102.15	1.66
	0.251 1	69.15	70.33	139.33	99.78		
	0.251 3	69.27	70.33	142.11	103.57		
	0.250 6	68.85	70.33	141.81	103.74		
	0.251 0	69.22	70.33	141.28	102.46		
	0.251 1	69.89	70.33	142.34	103.02		

2.10 样品含量测定 精密称取药材粉末3份，每份0.5 g，按“2.2”项下方法制备供试品溶液，在“2.4”项色谱条件下进样测定，计算含量，结果见表3。

表3 各成分含量测定结果 (mg/g)

试验号	dactylorhin A	militarine	秋水仙碱
1	0.393 3	1.718 0	0.275 4
2	0.391 9	1.733 0	0.275 0
3	0.395 3	1.740 0	0.276 6
平均值	0.393 5	1.730 0	0.275 7

3 讨论

本实验考察不同流动相体系(乙腈-水、甲醇-水)的分离效果，比较超声法、回流法对于成分提取的效果。结果，以甲醇-水为流动相体系所得的目标峰理论塔板数低，militarine、秋水仙碱色谱峰分离度差，且基线不平稳，而乙腈洗脱能力强、黏度低，可以提高色谱峰理论塔板数，使出峰提前，有效缩短进样检测时间，故选择以乙腈-水为流动相，经过不断调整洗脱梯度，使得3个目标峰有较好的分离度。同时，进行超声和回流提取方式的比较，测得两者相差不大，超声提取简便、易操作、适用于多批次样品提取，故选取超声为提取方法。以乙腈-水为流动相对3种成分进行分离和含量测定，表明该方法具有较好的准确性、精密度和重复性。

4 结论

山慈姑有着悠久的药用历史，具有抗肿瘤、降压、抗菌、抗痛风等作用，开发潜力较大。本研究首次建立HPLC法对山慈姑中dactylorhin A、militarine、秋水仙碱进行含量测定，该方法准确、重复性好，可为山慈姑的质量控制提供参考。

参考文献：

- [1] 国家药典委员会. 中华人民共和国药典：2020年版一部 [S]. 北京：中国医药科技出版社，2020：34-35.
- [2] 朱毅. 杜鹃兰的化学成分研究[D]. 武汉：湖北中医药大学，2014.
- [3] 申勇. 杜鹃兰 *Cremastra appendiculata* 化学成分及抗肿瘤活性研究[D]. 保定：河北大学，2007.
- [4] 夏文斌，薛震，李帅，等. 杜鹃兰化学成分及肿瘤细胞毒活性研究[J]. 中国中药杂志，2005，30(23): 1827-1830.
- [5] 甘甜，韩金秀，田义新. 长白山珍稀药材山兰醋酸乙酯部位化学成分研究[J]. 中草药，2017，48(15): 3051-3055.
- [6] 林冰，周英. 山慈姑化学成分研究(I)[J]. 中国中医药资讯，2011，3(5): 183.
- [7] 张尧，黄波，赵致，等. 山慈姑乙酸乙酯部位化学成分研究[J]. 中药材，2011，34(12): 1882-1883.
- [8] Li Y P, Chen Y P, Shao Y T, et al. A new phenanthraquinone from the aerial parts of *Cremastra appendiculata* [J]. Chem Nat Compd, 2020, 56 (5): 785-787.
- [9] Li Y, Wu Z H, Zeng K W, et al. A new prenylated flavone from *Pleione bulbocodioides* [J]. J Asian Nat Prod Res, 2017, 19(7): 738-743.
- [10] Shao S Y, Wang C, Han S W, et al. Two new phenanthrenequinones with cytotoxic activity from the tubers of *Pleione bulbocodioides* [J]. Phytochem Lett, 2020, 35: 6-9.
- [11] 曹晓东，张楠，杨冬冬，等. 定量蛋白组学筛选及分析山慈姑提取物抗4T1乳腺癌的新启示[J]. 天然产物研究与开发，2021，33(2): 246-255.
- [12] 叶丽芳，徐俊鸿，仇志坤. 山慈姑水提取物对胃癌HGC27细胞增殖抑制的影响[J]. 中医临床研究，2019，11(17): 28-30.
- [13] 季漪，吴勉华. 山慈姑化学成分及其抗肿瘤作用机制研究进展[J]. 中华中医药学刊，2018，36(3): 596-598.
- [14] 于治凡，刘英华，肖均财，等. 山慈姑对甲状腺癌SW579细胞增殖及凋亡的影响[J]. 癌症进展，2018，16(10): 1292-1294; 1298.
- [15] 兴伟，刘远，徐墨，等. 山慈姑通过PI3K/Akt信号通路影响乳腺癌MDA-MB-231细胞的增殖和凋亡[J]. 中国免疫学杂志，2020，36(6): 693-698; 706.
- [16] 李雪莲，李智，黄芊，等. 山慈姑介导VEGF-A血管生成抑制乳腺癌细胞上皮-间质转化的实验研究[J]. 中国医师杂志，2019，21(11): 1658-1662.
- [17] 唐纯明，何自力，李军. 山慈姑提取物对肝癌细胞增殖及TNF-α、IL-1β、IL-6表达的影响[J]. 山东医药，2020，60(8): 11-14.
- [18] 孟海波. 山慈姑多糖的抗氧化及降脂作用研究[D]. 长沙：湖南农业大学，2015.
- [19] Fujisawa Pharmaceutical Co, Ltd. Antihypertensive cremastosine I and II isolation: Japan, 57035518[P]. 1982-02-26.
- [20] 田新颖，韩金秀，田义新. 山兰对3种常见病原菌抑菌作用的研究[J]. 人参研究，2016，28(4): 33-35.
- [21] 阮小丽，施大文. 山慈姑的抗肿瘤及抑菌作用[J]. 中药材，2009，32(12): 1886-1888.
- [22] 黄小容. 山慈姑水层部分抗菌活性筛选和分离纯化研究[D]. 贵阳：贵州大学，2009.
- [23] 孙红祥. 一些中药及其挥发性成分抗霉菌活性研究[J]. 中国中药杂志，2001，26(2): 27-30.
- [24] 马子密，傅延龄. 历代本草药性汇解[M]. 北京：中国医药科技出版社，2002: 197.
- [25] 孙佳. 治疗痛风和高尿酸血症药物进展[J]. 中国处方药，2019，17(1): 28-29.
- [26] Zhang D, Liu G T, Shi J G, et al. *Coeloglossum viride* var. *bracteatum* extract attenuates D-galactose and NaNO₂ induced memory impairment in mice [J]. J Ethnopharmacol, 2006, 104(1-2): 250-256.
- [27] 张丹，张建军. CE对衰老小鼠免疫器官指数以及神经系统病理改变的影响[J]. 中国神经免疫学和神经病学杂志，2005，12(5): 55-58; 77.
- [28] Sakuno E, Kamo T, Takemura T, et al. Contribution of militarine and dactylorhin A to the plant growth-inhibitory

- activity of a weed-suppressing orchid, *Bletilla striata* [J]. *Weed Biol Manag*, 2010, 10(3): 202-207.
- [29] 崔保松, 宋杰, 李帅, 等. RP-HPLC 同时测定山慈姑药材中 dactylochin A 和 militarine 的含量 [J]. 中国中药杂志, 2013, 38(24): 4347-4350.
- [30] 管伦兴, 储益平. 云南丽江山慈姑品种考证及有效成分秋水仙碱含量的研究 [J]. 中药与临床, 2015, 6(3): 1-3.
- [31] 林新艳, 王宓, 徐超, 等. 正交试验法优选山黄祛痛喷雾剂醇提工艺 [J]. 中国药业, 2019, 28(9): 28-30.
- [32] 杨红燕, 项微微, 李玲燕. HPLC 法指纹图谱在山慈姑真伪鉴别中的应用 [J]. 浙江中医杂志, 2020, 55(1): 72-73.

菊苣根中二氧化硫残留量分析及其风险评估

李耀磊¹, 巨珊珊¹, 张冰^{1*}, 吴昊¹, 任志鑫¹, 王雨¹, 林志健¹, 金红宇², 马双成²

(1. 北京中医药大学中药学院, 北京 102488; 2. 中国食品药品检定研究院, 北京 102629)

摘要: 目的 分析菊苣根中二氧化硫残留量, 并对其进行风险评估。方法 菊苣根加酸后水蒸气蒸馏, 3% 双氧水吸收、氧化, 离子色谱法测定二氧化硫含量。测定条件为 IonPac AS-11-HC 阴离子交换柱 (4 mm×250 mm, 10 μm), 洗脱液 20 mmol/L KOH 溶液; 柱温 30 ℃; 体积流量 1 mL/min; 电导检测器检测。基于危害系数法 (HI) 进行风险评估。结果 硫酸根在一定范围内线性关系良好 ($r=0.9999$), 平均加样回收率为 91.3%, RSD 为 0.45%, 残留量为 7.8~46.3 mg/kg。结论 菊苣根中二氧化硫潜在的安全风险整体较低。

关键词: 菊苣根; 二氧化硫; 风险评估; 离子色谱

中图分类号: R284.1

文献标志码: B

文章编号: 1001-1528(2022)06-2053-04

doi:10.3969/j.issn.1001-1528.2022.06.060

外源性有害残留物的监测对中药质量控制具有重要的意义, 是中药材及饮片质量评价时不可或缺的一部分^[1]。由于中药材及饮片在贮藏时, 容易产生虫蛀, 破坏药材及饮片的质量, 故传统多采用硫磺熏蒸的方法防止虫蛀^[2-3]。硫磺熏蒸是我国药农传统习用中药材产地粗加工方法, 但硫磺熏蒸后的中药材及饮片中残留有挥发性二氧化硫, 过量的含硫物质的残留会对人体健康产生损害。因此, 关注中药材及饮片中的二氧化硫残留对于药品质量、疗效及患者安全具有重要的意义。

菊苣根为维吾尔族习用药材, 是常用的药食同源品种, 其具有调节血脂、降尿酸的作用, 可改善由高脂高嘌呤饮食引起的腹型肥胖、高尿酸血症^[4-6]; 在日常生活中, 菊苣根多用来泡水服用, 市场上更有众多菊苣根茶相关产品。菊苣根中含有多糖, 因此在常规贮藏过程中极易产生虫蛀等问题而影响其质量, 硫熏是解决其虫蛀问题的方法之一。根据 2020 年度中药材/中药饮片质量不合格数据统计报告, 在 1 047 批药材及饮片中, 二氧化硫项目不合格有 25 批, 约占 2.4%。由此可见, 中药材及饮片过度硫熏问题仍然存在。本研究通过收集不同产地的菊苣根及饮

片, 将样品经加酸后水蒸气蒸馏法进行处理, 采用离子色谱法, 初步分析菊苣根中二氧化硫残留量情况, 对其安全性进行风险评估, 为菊苣药材质量评价提供基础数据支撑。

1 材料

1.1 仪器 ICS-3000 型离子色谱仪, 配置电导检测器 (美国赛默飞公司); XS105DU 电子天平、FX-200 电热套 (天津市泰斯特仪器有限公司); Milli-Q 超纯水仪 (美国 Millipore 公司)。

1.2 试剂与药物 硫酸根标准物质溶液 [中国计量科学研究院, 编号 GBW (E) 080266]。26 批菊苣根收集于河北安国、安徽亳州等地药材市场, 以及部分药店、药材公司 (编号 JJG1~JJG26), 经北京中医药大学中药学院张冰教授鉴定为正品。过氧化氢 (30%, 优级纯)、盐酸 (优级纯)、无水亚硫酸钠 (分析纯) (国药集团化学试剂有限公司); 水为去离子水。

2 方法与结果

2.1 色谱条件 采用离子色谱法测定二氧化硫含量。分析采用 AS11-HC 阴离子交换柱 (4 mm×250 mm, 10 μm)、

收稿日期: 2021-09-29

基金项目: 国家自然科学基金资助项目 (U20A20406); 北京市自然科学基金项目 (7212178)

作者简介: 李耀磊 (1990—), 男, 博士, 研究方向为中药防治代谢性疾病、中药药物警戒与合理用药

*通信作者: 张冰 (1959—), 女, 博士, 教授, 主任医师, 研究方向中药药物警戒与合理用药、中药药性理论与名老中医传承、中药防治代谢性疾病